



**РОЗЕНВАССЕР ГРИГОРІЙ РУВІНОВИЧ**

Заведуючий науково-исследовательским отделом зданий и подземных сооружений в сложных геотехнических условиях, ДП «Донецкий Промстройнинпроект».

Основные направления научной деятельности: механика подземных сооружений, строительные конструкции зданий и сооружений в сложных геотехнических условиях.

Автор более 150 научных трудов.

E-mail: gir.dptm@mail.ru



**ДУВАНСКИЙ АЛЕКСЕЙ ВІКТОРОВИЧ**

Научный сотрудник научно-исследовательского отдела зданий и подземных сооружений в сложных геотехнических условиях ДП «Донецкий Промстройнинпроект», аспирант Государственного научно-исследовательского института строительных конструкций.

Основные направления научной деятельности: механика подземных сооружений, строительные конструкции зданий и сооружений в сложных геотехнических условиях.

Автор 10 научных трудов.

E-mail: gir.dptm@mail.ru



**ГУНЬКО ВАДІМ ІВАНОВИЧ**

Технический директор ООО «Донбасс Арена».

Автор ряда научных работ.

E-mail: v.gunko@donbass-arena.ua

УДК 624.07

## УСТАНОВЛЕНІ КРИТЕРІЇВ ДЛЯ РАННІГО ВЫЯВЛЕННЯ ЧРЕЗВЫЧАЙНИХ СИТУАЦІЙ НА ОБ'ЄКТЕ ФУТБОЛЬНИЙ СТАДІОН «ДОНБАСС АРЕНА», УКРАЇНА

**Ключевые слова:** футбольный стадион, техническое состояние, чрезвычайные ситуации, критерии докритические и критические, численные исследования, мониторинг.

В статье приведена реализованная идеология установления критериев раннего выявления чрезвычайных ситуаций в основных несущих конструкциях Стадиона "Донбасс Арена".

У статті наведена реалізована ідеологія встановлення критеріїв раннього виявлення надзвичайних ситуацій в основних несучих конструкціях Стадіону "Донбас Арена".

*The article describes the implemented ideology of the criteria's ascertainment for early detection of emergency situations in the major supporting structures of the Stadium "Donbas Arena".*

**Постановка задачи.**

Цель выполнения работы – установить минимальное количество и местоположение, размещенных на несущих элементах стадиона, датчиков УИД АСМ (разработка Запорожского отделения НИИСК), работающих в режиме «on-line», и на основе результатов численных исследований определить критерии (докритические и критические) напряженно-деформированного состояния (НДС) консольных опорных ферм покрытия и ядер жесткости каркаса для контроля чрезвычайных ситуаций.

По существу речь идет о разграничении функций мониторинга технического состояния эксплуатируемых несущих конструкций объектов по ДБН В.1.2-5:2007 «Науково-технічний супровід будівельних об'єктів» [1] и мониторинга чрезвычайных ситуаций и оповещения по ДСТУ 7136:2009 «Моніторинг потенційно небезпечних об'єктів» [2].

ДБН В.1.2-5:2007 предусматривает, на основе проекта эксплуатации и технологии мониторинга несущих свойств основных конструкций объектов, регулярное наблюдение за ними, оценку НДС наиболее нагруженных элементов и сравнение результатов с нормируемыми или устанавливаемыми критериями эксплуатационной пригодности.

ДСТУ 7136:2009 предусматривает, на основе систем раннего выявления чрезвычайных ситуаций и оповещения, своевременное принятие мер предотвращения возможных аварийных ситуаций и защиты людей.

При проектировании по действующим нормам строительных объектов [3]...[9] и др. обеспечивается их устойчивость и прочность, при этом мониторинг наиболее нагруженных конструкций имеет своей целью отслеживать остаточные ресурсы несущих свойств и своевременно принимать меры по корректировке условий эксплуатации. Проектирование систем раннего выявления и оповещения предусматривает, в основном, своевременный вывод людей в безопасное пространство до наступления катастрофической ситуации.

При проектировании и строительстве стадиона «Донбасс Арена» проанализирована, кроме деформаций земной поверхности (УкрНИМИ), динамика развития деформаций тектонических плит Французского и Коксового надвигов, на которых воздвигнута чаша стадиона.

Многолетние наблюдения за поведением тектонических плит в зонах Французского надвига применительно к площадке застройки стадиона «Донбасс Арена» показали: современные вертикальные тектонические движения происходят со скоростью до 3 мм/год; горизонтальные тектонические движения происходят со скоростью до 4 мм/год; при этом сейсмические воздействия ( $J_p = 5$  баллов по шкале MSK-64) не учитываются, поскольку их влияние по сравнению с воздействием горных выработок и тектоники малопродуктивно.

Мониторинг движения тектонических плит на конец 2012 года показал:

- относительные горизонтальные деформации тектонических плит:  
 $\varepsilon = +0,1 \dots 0,13 \text{ мм/м}$  « $[\varepsilon_p] = \pm 1,5 \text{ мм/м}$ ;
- наклоны тектонических плит<sup>λ</sup>:  
 $i = +0,35 \dots 0,55 \text{ мм/м}$  « $[i_p] = \pm 3,0 \text{ мм/км}$ ;
- радиусы кривизны тектонических плит:  
 $R_p = \pm 31 \dots 36 \text{ км} > [R_p] = \pm 25 \text{ км}$ ;
- относительная разность осадок тектонических плит:  
 $\Delta H = -5 \dots +12,5 \text{ мм}$ ;

- относительные взаимные горизонтальные деформации тектонических плит:  
 $\Delta D = +2 \dots 30 \text{ мм}$ .

Учитывая тот факт, что несущие конструкции стадиона оснащены конструктивными мерами защиты (разрезка каркаса на 14 отсеков, замена свайного поля фундаментами на естественном основании, устройство швов скольжения и др.), влияние на объект конкретных геотехнических условий в ближайшее время будет ослаблено. Таким образом, требования [1] и [2] не являются аналогичными и отражают различные аспекты эксплуатации строительных объектов. В связи с изложенным, объективно нецелесообразно устройство параллельных систем определения движения тектонических плит, осадок и кренов фундаментов, каркаса и покрытия в целом.

В постановке Заказчика возможно использование уже установленных на консольных опорных фермах покрытия и на ядрах жесткости каркаса датчиков УИД АСМ.

Проблемой является установление докритических и критических критериев по показаниям этих датчиков, достижение которых позволит объективно принимать чрезвычайные меры безопасности – своевременный вывод людей в безопасное пространство до наступления катастрофической ситуации.

Решению этой проблемы посвящена настоящая статья.

**Установление минимального количества и мест расположения датчиков УИД АСМ (Север, Юг, Запад, Восток).**

На рисунках 1, 2 и в таблицах 1, 2 приведены места расположения, номера и количество датчиков УИД АСМ на консольных опорных фермах покрытия и на ядрах жесткости каркаса.

Таблица 1. Датчики УИД АСМ на консольных опорных фермах покрытия

Отсек на рисунке 1	Консольная опорная ферма	Номер датчика
NC/EA	ST1	№19
WA/WB	ST3	№3
EB/EC	ST6	№22
SA/SB	ST8	№6

Таблица 2. Датчики УИД АСМ

Отсек на рисунке 2	Номер датчика УИД АСМ
NC	• 30
WB	• 33
EC	• 27
SA	• 36

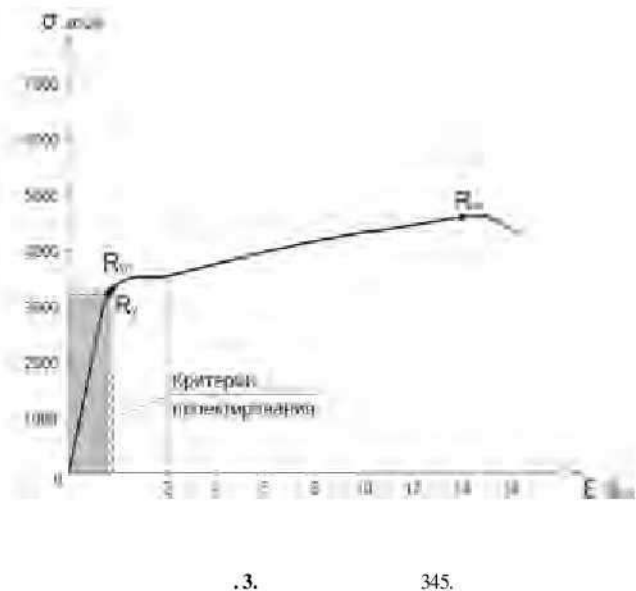
Анализ показал, что датчики, установленные на нижних поясах структурного покрытия фиксируют лишь местные перемещения, не связанные с общей устойчивостью покрытия. При этом, если в процессе строительного мониторинга эти датчики необходимы, то в процес-

Смотри рисунки 1, 2, на стр. 2 обложки

се фиксации докритических и критических критериев их наблюдение не является приоритетным. В связи с этим, датчики УИД АСМ на структурах исключены.

## Ідеологія определення докритических и критических критеріев технічного состояния несущих конструкцій Стадіона.

В основу определения докритических и критических критеріев технічного состояния консольных опорных ферм покрытия и ядер жесткости каркаса принятіи соответствующие диаграммы работы стали повышенной прочности С345 по рисунку 3, таблица 3 и арматурной стали А500С по рисунку 4, таблица 4.



.3.

345.

Таблица 4. Показатели арматурной стали класса А500С по диаграмме на рисунке 4

Критерий	Напряжения, кг/см <sup>2</sup>	
	Обозначение	Значение
Проектирования	$f_{yd}$	4150
Докритический	$f_{yk}$	5000
Критический	$f_{ik}$	6000

Рассмотрены критерии: проектирования; докритические; критические.

Критерии проектирования предусматривают использование предельных расчетных напряжений: в стали С345 для покрытия – расчетное сопротивление растяжению, сжатию и изгибу на границе текучести  $R_y = 3000 \text{ кг}/\text{см}^2$ ; в стали арматурной А500С – расчетная прочность на границе текучести  $f_{yd} = 4150 \text{ кг}/\text{см}^2$ .

Докритический критерий предусматривает использование предельных нормативных напряжений: в стали С345 – граница текучести, соответствующая значению  $\sigma_p$ ,  $R_{yn} = 3050 \text{ кг}/\text{см}^2$ ; в арматурной стали А500С – нормативная прочность арматуры на границе текучести  $f_{yk} = 5000 \text{ кг}/\text{см}^2$ .

Критический критерий предусматривает использование временных сопротивлений, соответствующих минимальным значениям временных сопротивлений разрыву  $\sigma_a$ : в стали С345 – временное сопротивление  $R_{un} = 4500 \text{ кг}/\text{см}^2$ ; в арматурной стали А500С – предельная прочность при растяжении  $f_{ik} = 6000 \text{ кг}/\text{см}^2$ .

Углы наклона  $i^\phi$  и  $i^a$  по показаниям датчиков УИД АСМ, соответствующих докритическим и критическим критериям работы опорных консольных ферм покрытия и ядер жесткости каркаса, устанавливаются по результатам численных исследований. При этом, для достижения предельных напряжений в стали и арматуре использовалось аварийное сочетание нагрузок с увеличенными коэффициентами перегрузок для моделирования чрезвычайных ситуаций.

Пространственные расчеты выполнены с использованием программного комплекса Scad 11.3 (SCAD Group, г.Киев).

Программа численных исследований консольных опорных ферм покрытия и ядер жесткости каркаса включала расчеты по этапам нагружения:

- этап 1. Аварийное сочетание нагрузок, соответствующее проектным критериям;
- этап 2. Аварийное сочетание нагрузок, соответствующее докритическим критериям;
- этап 3. Аварийное сочетание нагрузок, соответствующее критическим критериям.

В расчетах учитывалось взаимодействие консольных опорных ферм покрытия и соответствующих ядер жесткости каркаса.

## Результаты численных исследований Консольные опорные фермы покрытия

Результаты приведены в таблицах 5...8.

Суммарный крен опорных ферм покрытия  $i^\phi$  включает установленный усредненный крен  $i_{av}^\phi$ , замеренный при мониторинге в 2010-2012гг., расчетный крен  $i_p^\phi$ , соответствующий нагрузочным сочетаниям по заданным критериям и расчетный крен  $i_p^a$  – ядра жесткости.

Установление докритических и критических критери-

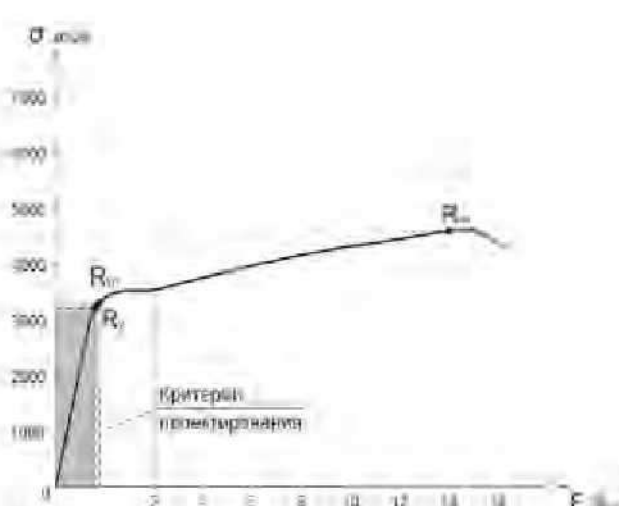


Рис. 4. Диаграмма арматурной стали класса А500С.

Таблиця 5. Результати розрахунку консольної опорної ферми ST1 покриттям отсеків NC/EA

Критерії	Розрахункові показателі				
	Установившися середній крен, $i^*$ , ...	Розрахунковий крен, $i^*$ , ...	Суммарний крен, $i^* = i^* + i^* + i^*$ , ...	Розрахункове навантаження в металі, $\sigma$ , кг/см <sup>2</sup>	Значення критерія, кг/см <sup>2</sup>
Проектний, $R_y$		$60,42 \cdot 10^{-4}$	$75,32 \cdot 10^{-4}$	2993	3000
Докритичний, $R_{yn}$		$62,46 \cdot 10^{-4}$	$78,36 \cdot 10^{-4}$	3047	3050
Критичний, $R_u$		$112,3 \cdot 10^{-4}$	$129,4 \cdot 10^{-4}$	4498	4500

Примітка. Установившися крен определен результатами моніторинга в 2010-2012 рр.

Таблиця 6. Результати розрахунку консольної опорної ферми ST6 покриттям отсеків EB/EC

Критерії	Розрахункові показателі				
	Установившися середній крен, $i^*$ , ...	Розрахунковий крен, $i^*$ , ...	Суммарний крен, $i^* = i^* + i^* + i^*$ , ...	Розрахункове навантаження в металі, $\sigma$ , кг/см <sup>2</sup>	Значення критерія, кг/см <sup>2</sup>
Проектний, $R_y$		$59,08 \cdot 10^{-4}$	$72,09 \cdot 10^{-4}$	3000	3000
Докритичний, $R_{yn}$		$6,1 \cdot 10^{-4}$	$60,81 \cdot 10^{-4}$	3050	3050
Критичний, $R_u$			$110,9 \cdot 10^{-4}$	$126,62 \cdot 10^{-4}$	4499
					4500

Примітка. Установившися крен определен результатами моніторинга в 2010-2012 рр.

Таблиця 7. Результати розрахунку консольної опорної ферми ST3 покриттям отсеків WA/WB

Критерії	Розрахункові показателі				
	Установившися середній крен, $i^*$ , ...	Розрахунковий крен, $i^*$ , ...	Суммарний крен, $i^* = i^* + i^* + i^*$ , ...	Розрахункове навантаження в металі, $\sigma$ , кг/см <sup>2</sup>	Значення критерія, кг/см <sup>2</sup>
Проектний, $R_y$		$66,43 \cdot 10^{-4}$	$80,60 \cdot 10^{-4}$	2991	3000
Докритичний, $R_{yn}$		$6,1 \cdot 10^{-4}$	$68,62 \cdot 10^{-4}$	3049	3050
Критичний, $R_u$			$120,1 \cdot 10^{-4}$	$137,2 \cdot 10^{-4}$	4495
					4500

Примітка. Установившися крен определен результатами моніторинга в 2010-2012 рр.

Таблиця 8. Результати розрахунку консольної опорної ферми ST8 покриттям отсеків SA/SB

Критерії	Розрахункові показателі				
	Установившися середній крен, $i^*$ , ...	Розрахунковий крен, $i^*$ , ...	Суммарний крен, $i^* = i^* + i^* + i^*$ , ...	Розрахункове навантаження в металі, $\sigma$ , кг/см <sup>2</sup>	Значення критерія, кг/см <sup>2</sup>
Проектний, $R_y$		$67,94 \cdot 10^{-4}$	$84,24 \cdot 10^{-4}$	2998	3000
Докритичний, $R_{yn}$		$6,1 \cdot 10^{-4}$	$70,48 \cdot 10^{-4}$	3047	3050
Критичний, $R_u$			$121,6 \cdot 10^{-4}$	$141,6 \cdot 10^{-4}$	4493
					4500

Примітка. Установившися крен определен результатами моніторинга в 2010-2012 рр.

ев по кренам контролировалось принятыми соответствующими напряжениями в элементах ферм.

#### Ядра жесткості каркаса

Результаты приведены в таблицах 9...12.

Суммарный крен ядер жесткости  $i^*$  включает уста-

новившийся усредненный крен  $i^*_{av}$ , замеренный при мониторинге в 2010-2012 гг. и расчетный крен  $i^*_{pr}$ , соответствующий нагрузочным сочетаниям по заданным критериям – докритическим и критическим.

Установление докритических и критических критериев по кренам контролировалось принятыми соответствующими напряжениями в арматуре.

#### Обобщение результатов расчетов и разработка системы докритических и критических критериев по датчикам УИД АСМ

Идеология определения докритических и критических критериев технического состояния несущих конструкций ориентировалась на напряжения в элементах металлического покрытия и арматуру ядер жесткости каркаса с последующей, в результате численных исследований, оценкой соответствующих значений углов поворота  $i^{\phi}$  и  $i^{\theta}$  по датчикам УИД АСМ.

В соответствии с [8] нормируются требования по вертикальным предельным прогибам елементов конструкций, в том числе конструктивные и эстетико-психологические. Последние имеют особое значение для зрелищных строительных объектов. Однако, в замкнутых пространствах, количественная оценка этого фактора только датчиками УИД АСМ затруднительна. В связи с этим, измерение прогибов элементов заменено измерением углов поворотов.

Таким образом, система докритических и критических критериев технического состояния элементов покрытия и каркаса стадиона свелась к определению углов поворота наиболее ответственных элементов – консольных опорных ферм покрытия и ядер жесткости каркаса. Учитывая тот факт, что с момента окончания строительства, НДС несущих конструкций Стадиона, в основном, стабилизировалось, изменение показаний датчиков УИД АСМ вызвано, в основном, температурно-климатическими условиями эксплуатации и релаксационными процессами, что учитывалось в установлении докритических и критических критериев.

В таблицах 5...12 фактически приведены установленные по результатам расчетов докритические и критические критерии эксплуатации стадиона. Обращаем внимание на тот факт, что критические кри-

Таблица 9. Результаты расчета кренов ядра жесткости отсека NC в осях N06, N07

Критерии	Расчетные показатели					
	Установившийся средний крен, $i_{\text{ср}}^*, \dots$	Расчетный крен, $i^* = i_{\text{ср}}^* + i_{\text{из}}$ , $\dots$	Суммарный крен, $i^* = i_{\text{ср}}^* + i_{\text{из}}$ , $\dots$	Расчетное напряжение в бетоне, $\sigma_b$ , кг/см <sup>2</sup>	Расчетное напряжение в арматуре, $\sigma_s$ , кг/см <sup>2</sup>	Значение критерия, кг/см <sup>2</sup>
Проектный, $f_{yd}$	$5,9 \cdot 10^{-4}$	$8,8 \cdot 10^{-4}$	$14,70 \cdot 10^{-4}$	150,6	4148	4150
Докритический, $f_{yk}$		$9,8 \cdot 10^{-4}$	$15,70 \cdot 10^{-4}$	180,7	4985	5000
Критический, $f_{ik}$		$11,0 \cdot 10^{-4}$	$16,90 \cdot 10^{-4}$	216,8	5991	6000

**Примечания:** 1. Расчетное сопротивление бетона конструкций ядра B40,  $R_b = 204 \text{ кг}/\text{см}^2$   
 2. Установившийся крен определен результатами мониторинга в 2010-2012 гг.

Таблица 10. Результаты расчета кренов ядра жесткости отсека EC в осях E16, E17

Критерии	Расчетные показатели					
	Установившийся средний крен, $i_{\text{ср}}^*, \dots$	Расчетный крен, $i^* = i_{\text{ср}}^* + i_{\text{из}}$ , $\dots$	Суммарный крен, $i^* = i_{\text{ср}}^* + i_{\text{из}}$ , $\dots$	Расчетное напряжение в бетоне, $\sigma_b$ , кг/см <sup>2</sup>	Расчетное напряжение в арматуре, $\sigma_s$ , кг/см <sup>2</sup>	Значение критерия, кг/см <sup>2</sup>
Проектный, $f_{yd}$	$5,9 \cdot 10^{-4}$	$6,91 \cdot 10^{-4}$	$12,81 \cdot 10^{-4}$	135,9	4144,0	4150
Докритический, $f_{yk}$		$8,11 \cdot 10^{-4}$	$14,01 \cdot 10^{-4}$	179,2	4943,3	5000
Критический, $f_{ik}$		$9,62 \cdot 10^{-4}$	$15,52 \cdot 10^{-4}$	200,2	5910,0	6000

**Примечания:** 1. Расчетное сопротивление бетона конструкций ядра B40,  $R_b = 204 \text{ кг}/\text{см}^2$   
 2. Установившийся крен определен результатами мониторинга в 2010-2012 гг.

Таблица 11. Результаты расчета кренов ядра жесткости отсека WB в осях W08, W09

Критерии	Расчетные показатели					
	Установившийся средний крен, $i_{\text{ср}}^*, \dots$	Расчетный крен, $i^* = i_{\text{ср}}^* + i_{\text{из}}$ , $\dots$	Суммарный крен, $i^* = i_{\text{ср}}^* + i_{\text{из}}$ , $\dots$	Расчетное напряжение в бетоне, $\sigma_b$ , кг/см <sup>2</sup>	Расчетное напряжение в арматуре, $\sigma_s$ , кг/см <sup>2</sup>	Значение критерия, кг/см <sup>2</sup>
Проектный, $f_{yd}$	$5,9 \cdot 10^{-4}$	$8,07 \cdot 10^{-4}$	$13,97 \cdot 10^{-4}$	138,0	4146,0	4150
Докритический, $f_{yk}$		$9,30 \cdot 10^{-4}$	$15,20 \cdot 10^{-4}$	156,0	4938,2	5000
Критический, $f_{ik}$		$11,0 \cdot 10^{-4}$	$16,90 \cdot 10^{-4}$	197,0	5912,0	6000

**Примечания:** 1. Расчетное сопротивление бетона конструкций ядра B40,  $R_b = 204 \text{ кг}/\text{см}^2$   
 2. Установившийся крен определен результатами мониторинга в 2010-2012 гг.

Таблица 12. Результаты расчета кренов ядра жесткости отсека SA в осях S14, S15

Критерии	Расчетные показатели					
	Установившийся средний крен, $i_{\text{ср}}^*, \dots$	Расчетный крен, $i^* = i_{\text{ср}}^* + i_{\text{из}}$ , $\dots$	Суммарный крен, $i^* = i_{\text{ср}}^* + i_{\text{из}}$ , $\dots$	Расчетное напряжение в бетоне, $\sigma_b$ , кг/см <sup>2</sup>	Расчетное напряжение в арматуре, $\sigma_s$ , кг/см <sup>2</sup>	Значение критерия, кг/см <sup>2</sup>
Проектный, $f_{yd}$	$5,9 \cdot 10^{-4}$	$10,2 \cdot 10^{-4}$	$16,10 \cdot 10^{-4}$	104,9	4149,9	4150
Докритический, $f_{yk}$		$11,7 \cdot 10^{-4}$	$17,60 \cdot 10^{-4}$	128,4	4927,0	5000
Критический, $f_{ik}$		$13,9 \cdot 10^{-4}$	$19,80 \cdot 10^{-4}$	196,2,2	5927,0	6000

**Примечания:** 1. Расчетное сопротивление бетона конструкций ядра B40,  $R_b = 204 \text{ кг}/\text{см}^2$   
 2. Установившийся крен определен результатами мониторинга в 2010-2012 гг.

Таблица 13. Докритические критерии консольных опорных ферм покрытия

Марка фермы/отсек	Значения $i^{\Phi}$ , рад.
St1/ отсек NC/EA	$78,36 \cdot 10^{-4}$
St6/ отсек EB/EC	$75,02 \cdot 10^{-4}$
St3/ отсек WA/WB	$84,02 \cdot 10^{-4}$
St8/ отсек SA/SB	$88,28 \cdot 10^{-4}$

Таблица 14. Докритические критерии ядер жесткости каркаса

Отсек/оси	Значения $i^{\alpha}$ , рад.
NC / N06, N07	$15,70 \cdot 10^{-4}$
EC / E16, E17	$14,01 \cdot 10^{-4}$
WB / W08, W09	$15,20 \cdot 10^{-4}$
SA / S14, S15	$17,60 \cdot 10^{-4}$

терии связаны с возможным лавинообразным нарастанием деформаций в стали и арматуре (см.рисунки 3, 4), что недопустимо. В связи с этим, следует использовать только докритические критерии.

В таблицах 13, 14 приведены системы докритических критериев по датчикам УИД АСМ.

Основные результаты мониторинга в 2012 г. приведены в работе [10].

#### ВЫВОДЫ:

- Использование данных по кренам датчиками УИД АСМ с разработанными докритическими и критическими критериями для чрезвычайных ситуаций оказалось продуктивным.

- Достижение несущими конструкциями кренов, соответствующих докритическим критериям, является сигналом для вывода людей в безопасное пространство.

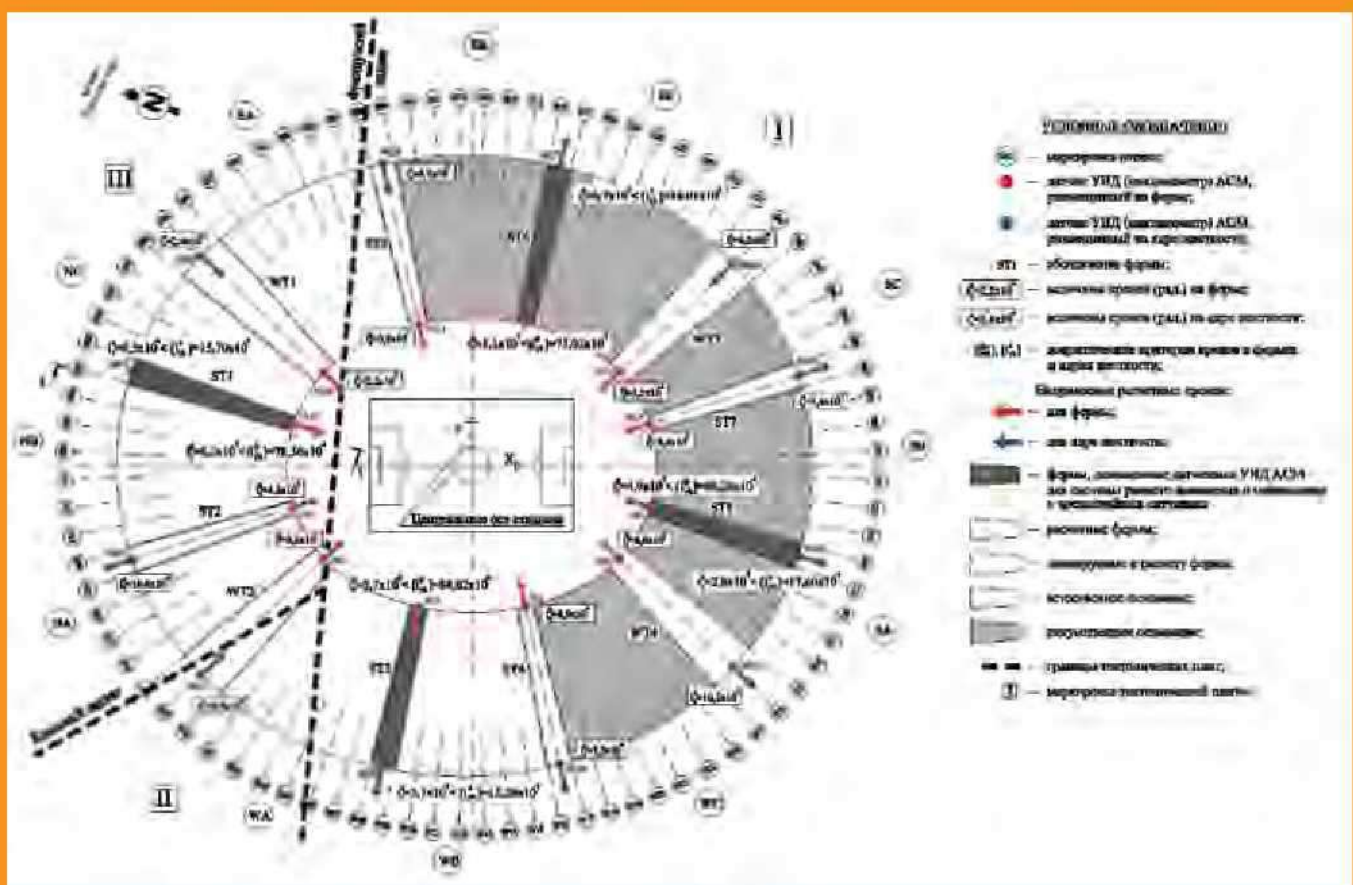
- Целесообразно корректировать суммарный крен  $i^{\phi}$  и  $i^{\theta}$  соответствующих несущих конструкций по ежегодным результатам мониторинга -  $i_{\text{M}}^{\phi}$  и  $i_{\text{M}}^{\theta}$ .

- В случае достижения кренов, соответствующих проектным критериям необходимо служебное оповещение на службе контроля для предварительной проверки технического состояния несущих конструкций.

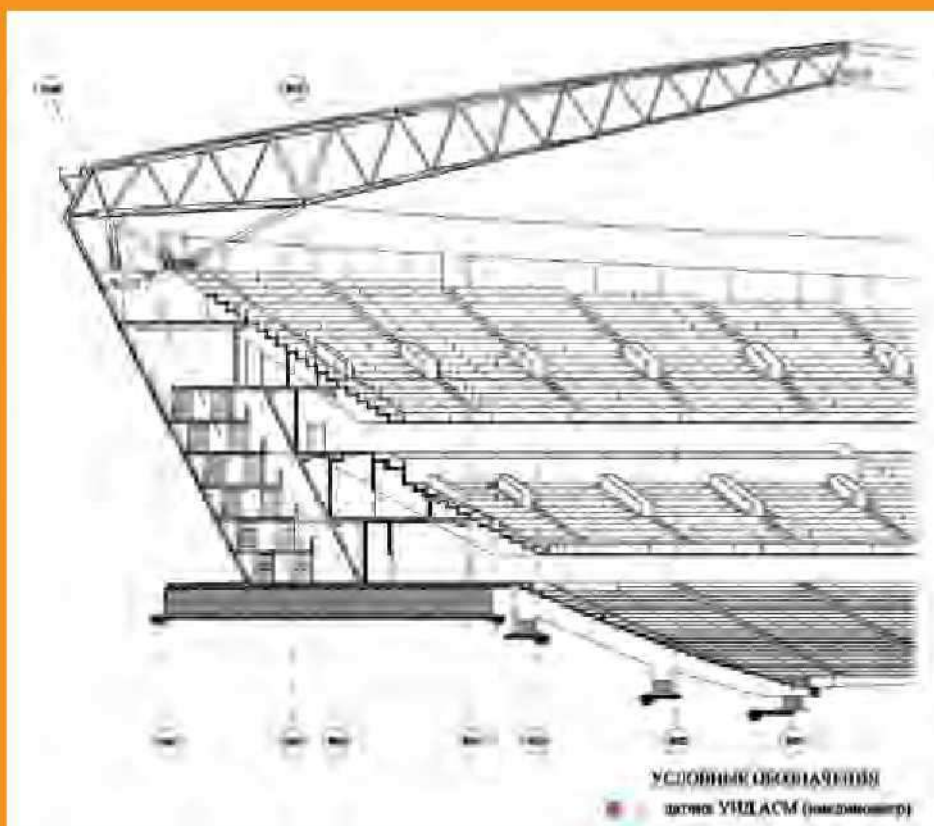
#### СПИСОК ИСПОЛЬЗОВАННОЙ ЛИТЕРАТУРЫ

- ДБН В.1.2-5:2007 «Науково-технічний супровід будівельних об'єктів» / Мінрегіонбуд України, Київ, 2007
- ДСТУ 7136:2009 «Моніторинг потенційно небезпечних об'єктів. Порядок Проведення» / Міністерство будівництва, архітектури та житлово-комунального господарства України, Київ, 2010
- ДБН В.2.6-98:2009 «Бетонні та залізобетонні конструкції. Основні положення» / Мінрегіонбуд України, Київ, 2011
- ДСТУ 3760:2006 «Прокат арматурний для залізобетонних конструкцій. Загальні технічні умови» / Держспоживстандарт України, Київ, 2007
- ДБН В.2.6-163:2010 «Стальные конструкции. Нормы проектирования, изготовления и монтажа» / Минрегионстрой Украины, Киев, 2011
- ГОСТ 27772-88 «Прокат для стальных конструкций. Общие технические условия» / Стандартинформ, Москва, 2006
- ДБН В.1.2-2:2006 «Навантаження та впливи. Норми проектування» / Міністерство будівництва, архітектури та житлово-комунального господарства України, Київ, 2006
- ДСТУ Б В.1.2-3:2006 «Прогини і переміщення. Вимоги проектування» / Міністерство будівництва, архітектури та житлово-комунального господарства України, Київ, 2006
- ДБН В.1.1-5:2000 «Будинки і споруди на підроблюваних територіях і просідаючих ґрунтах». Частина I / Державний комітет будівництва, архітектури та житлової політики України, Київ, 1999
- «Обобщение результатов глобального мониторинга технического состояния несущих конструкций и окрестной территории стадиона «Донбасс Арена». Этап VI Программы. Шифр 2/01-12-00/2012/ДП «Донецкий ПромстройНИИпроект», Донецк, 2012

**РИСУНКИ К СТАТЬЕ РОЗЕНВАССЕР Г.Р., ДУВАНСКИЙ А.В., ГУНЬКО В.И.,  
«УСТАНОВЛЕНИЕ КРИТЕРИЕВ ДЛЯ РАННЕГО ВЫЯВЛЕНИЯ ЧРЕЗВЫЧАЙНЫХ СИТУАЦИЙ  
НА ОБЪЕКТЕ ФУТБОЛЬНЫЙ СТАДИОН «ДОНБАСС АРЕНА», УКРАИНА»**



**Рис. 1.** Размещение датчиков УИД ACM на конструкциях покрытия и ядрах жесткости каркаса. Результаты измерений



**Рис. 2.** Разрез 1-1 на рисунке 1